



い(次式(2), (3), (4)).

氷に対応する式  $Q_S = Q_{AS} + Q_{iw} + Q_{is}$  (2)

雪に対応する式  $Q_S = Q_{AS} + Q_{is} + Q_L^{\downarrow} - Q_L^{\uparrow} + Q_H^{\uparrow} + Q_E^{\uparrow}$  (3)

氷上に雪がない時  $Q_S = Q_{AS} + Q_{iw} + Q_L^{\downarrow} - Q_L^{\uparrow} + Q_H^{\uparrow} + Q_E^{\uparrow}$  (4)

ここで $Q_S$ は氷中又は雪中の顕熱および潜熱の貯熱率であり、媒質の温度変化や雪氷の厚さ変化に伴う体積変化によって表わされる。 $Q_{AS}$ は単位時間に媒質に吸収されるshort wave radiationであり、 $Q_{iw}$ と $Q_{is}$ は各々氷と湿った路面の間の熱交換率、氷と雪の間の熱交換率である。 $Q_L$ はlong wave radiationである。(1)と(2), (3), (4)の違いはradiationは地中には透過しないが雪氷中には透過していくという差に基いている。このような熱の出入によって融雪氷が左右される筈だから、ロードヒーティングの設計に際しては、この熱収支こそが基礎となる。理想的には(2), (3), (4)の左辺に発熱量 $W$ を加えた形の立体の熱収支を検討すれば融雪氷や凍結の防止に必要な電力量が計算される筈だが現在の技術水準では困難である。従来から用いられている所要電力量推定式はいずれも半経験的なものであるが、W. P. Chapmanの式がある。<sup>4)</sup>これは雪を溶かして蒸発させるために必要なエネルギーと融水からの顕熱および潜熱エネルギーの和として次式(5)のように表わされている。

$$W = (H) + M + A(Q_H^{\uparrow} + Q_E^{\uparrow}) \quad (5)$$

(H), Mは各々雪温を $0^{\circ}\text{C}$ に上昇させ、さらに融雪に必要なエネルギーでありAは雪氷に覆われていない道路部分の割合として表わされている。ただしこの式は主として道路にのみ適用されるものであり $Q_G$ の効果は積雪時には無視し得る場合が多いが、今回のように橋に適用する場合には橋底からの熱損失も考慮して $Q_G$ の効果(5)右辺に加える必要がある。これらの事を考慮して以下に述べる観測を行った。

Fig. 3に観測項目を示すものであり、使用した装置はプロペラ式風向風速計、白金抵抗線温度計、デュセル露点温度計およびネットラジオメーターである。各感部からの出力信号は橋の下(青森側)に設置したマイクロの中の打点式記録計に伝送(直送)し連続自動記録させた。このようにして得られた観測記録は30分の読取間隔で人間が目で見取った。このようにしてデジタル化された各気象要素は総てミニコンピューターを用いて解析した。Fig. 4は日界を8時とした6気象要素の日変化を昭和46年2月23日、24日、25日について示したものであり、工段から純放射量、気温、風速、路面温度の順に示してある。この3日間は天候が各々異なっていく天候による気象要素変動の典型的なパターンである。この図の純放射量 $Q_N$ に着目すると比較的きれいなsinusoidal waveとして変化しており、この変化に伴って路面温度と気温が変化していくように見え、気象学的センスを満足させるものである。また工部部路面温度と橋梁部路面温度は極めて良く一致している。これがFig. 5である。若干橋梁部路面温度が高くなっているが( $0.3^{\circ}\text{C}$ )、これは標準偏差から予測される誤差( $\pm 1.0^{\circ}\text{C}$ )の範囲内である。また橋梁部と工部部の地

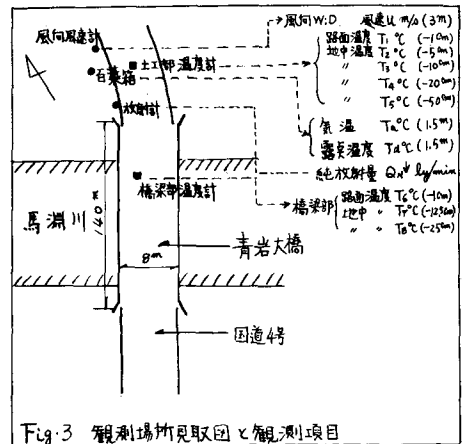


Fig. 3 観測場所見取図と観測項目

Fig. 4は日界を8時とした6気象要素の日変化を昭和46年2月23日、24日、25日について示したものであり、工段から純放射量、気温、風速、路面温度の順に示してある。この3日間は天候が各々異なっていく天候による気象要素変動の典型的なパターンである。この図の純放射量 $Q_N$ に着目すると比較的きれいなsinusoidal waveとして変化しており、この変化に伴って路面温度と気温が変化していくように見え、気象学的センスを満足させるものである。また工部部路面温度と橋梁部路面温度は極めて良く一致している。これがFig. 5である。若干橋梁部路面温度が高くなっているが( $0.3^{\circ}\text{C}$ )、これは標準偏差から予測される誤差( $\pm 1.0^{\circ}\text{C}$ )の範囲内である。また橋梁部と工部部の地

中温度プロファイルをFig.6に、このプロファイルの日変化をFig.7に示す。Fig.6を見ると、土工部では雨の日を除き地中深くなればなるほど温度は上昇し、変化は小さくなっていくが、橋梁部では中央部で最大値が見られるが橋の底は低温であり、橋底からの熱損失量がかなり多いことが推察される。Fig.7では地中温度プロファイルの変動がかなり大きく、熱量 $Q_g$ は日中は上から下へ、夜間は下から上へ向っているが、夜間、橋梁部では上と下へ熱が流れ、divergenceが起っているらしいことが推察される。ところで先に

に、路面温度が純放射と同様に *sinusoidal wave* として変動することを述べたが、その場合地中温度がどのように変動するかを調べてみた。地中の温度変化は路面温度の変化に伴うものであるから地中の温度変化も *sinusoidal wave* となるはずであり、深さ $z$ の地中温度の形を

$$T(z,t) = \bar{T}(z) + T(z) \sin \sigma t \quad (5)$$

としてさしつかえない。境界条件を  $z=0$  で  $T = \bar{T} + T' \sin \sigma t$  ) (6)

とすれば、熱伝導方程式

$$\frac{\partial T}{\partial t} = K_g \frac{\partial^2 T}{\partial z^2} \quad (7)$$

(なおここで  $\sigma = \frac{2\pi}{24}$ ,  $K_g$  は工の熱伝導率である。) に(5)を代入して解が得られる。この解の変動成分は

$$T \cdot e^{-\sqrt{\frac{\sigma}{2K_g}} z} \cos(\sigma t - \sqrt{\frac{\sigma}{2K_g}} z) \quad (8)$$

となる。したがって地中温度は深さと共にあまり変化せず(振幅減少)、その位相は遅れることが推察される。全気象要素を *sinusoidal wave* の合成関数として表わしFig.3の全気象要素を1日(24時間)基調波とする12階の調和解析を行ない、Fig.3の記号をそのまま用い、2月25日の各気象要素を(平均値)+(第一項)で表わす。

$$U = 3.1 + 2.45 \sin(x + 60.0^\circ) \quad (9)$$

$$Q_N = 0.0 + 0.58 \sin(x + 35.0^\circ) \quad (10)$$

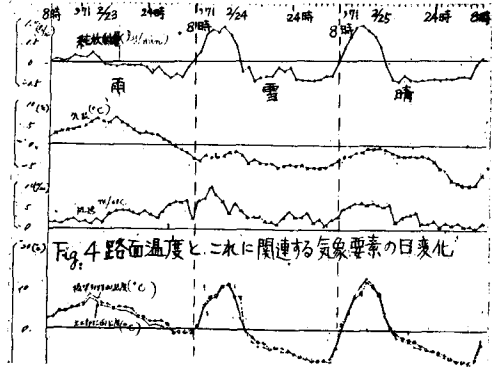


Fig.4 路面温度とこれに関連する気象要素の日変化

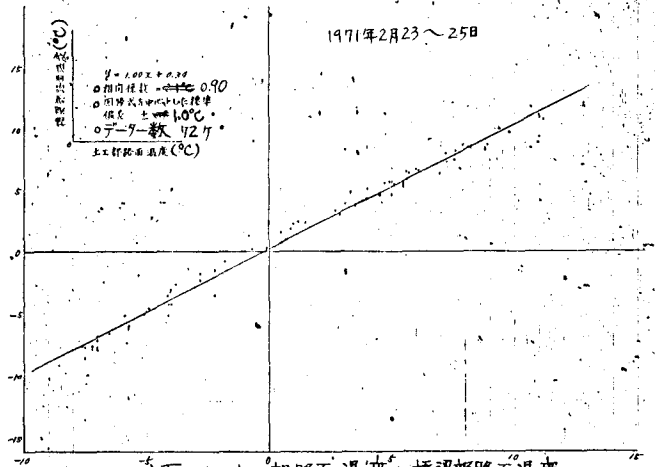


Fig.5 土工部路面温度と橋梁部路面温度

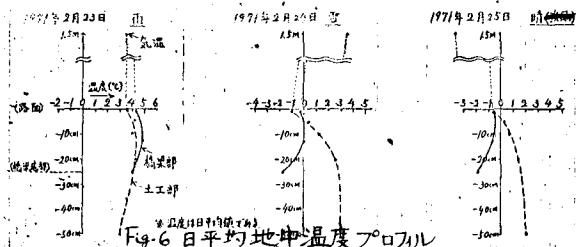


Fig.6 日平均地中温度プロファイル

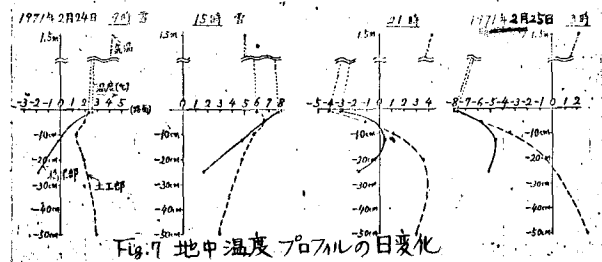


Fig.7 地中温度プロファイルの日変化

を1日(24時間)基調波とする12階の調和解析を行ない、Fig.3の記号をそのまま用い、2月25日の各気象要素を(平均値)+(第一項)で表わす。

$$T_a = -3.7 + 3.40 \sin(x - 33.2^\circ) \quad (11)$$

$$T_d = -12.3 + 0.18 \sin(x - 19.5^\circ) \quad (12)$$

$$T_1 = -0.6 + 8.15 \sin(x + 6.0^\circ) \quad (13)$$

$$T_2 = 0.3 + 6.35 \sin(x - 8.0^\circ) \quad (14)$$

$$T_3 = 0.6 + 4.10 \sin(x - 15.3^\circ) \quad (15)$$

$$T_4 = 1.4 + 1.96 \sin(x - 58.1^\circ) \quad (16)$$

$$T_5 = 2.0 + 0.07 \sin(x + 63.4^\circ) \quad (17)$$

$$T_6 = -0.7 + 7.79 \sin(x + 0.0^\circ) \quad (18)$$

$$T_7 = -0.7 + 4.50 \sin(x - 54.0^\circ) \quad (19)$$

$T_8 = -1.9 + 1.97 \sin(x + 8.2^\circ) \quad (20)$  (10)から(20)をみると、その平均値、振幅、位相差、に注目するといずれもこれまでの考察と一致し、数学的基礎を与えたことにもなる。Fig. 8は2月24日の橋

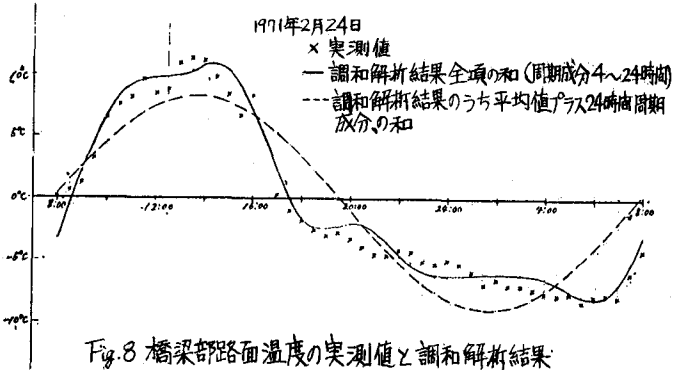


Fig. 8 橋梁部路面温度の実測値と調和解析結果

路面温度の実測値と調和解析結果を示すものであり、Fig. 9は調和解析結果を近似計算法として用いる可能性を探るものである。誤差の範囲によっては気象要素を数学的に表現できることになる。さらに路面温度をはじめとする各気象要素を定量的に表現することにより、ロードヒーティングの設計に必要な熱伝導方程式等を解くための初期条件と境界条件を決定することができた。

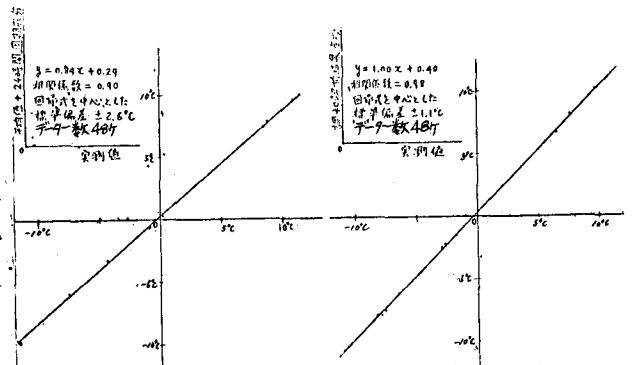


Fig. 9 調和解析の精度(1971年2月24日)

またFig. 4で2月23日の風速と路面温度の変化に注目すると風速の増加と共に路面温度は減少しており他の23日や25日の例とは異なっている。ここでのいかなる現象が行っていたかは明らかではないが夜間の橋面からの長波放射による冷却現象だけではないようである。(Fig. 10は横軸に風速、縦軸に1時間の温度減少率をとってプロットしたものである。)このような例は数多くみられるが、まだ一般的な結論として評価するには至ってから今後研究課題である。

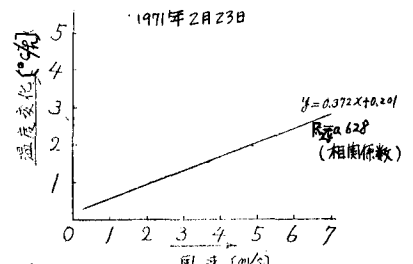


Fig. 10 風速と温度減少率の関係

最後に2月24日の所要電力量を計算すると次のようになる。

降雪の深さは6cmであるがFig. 4のQnの急変化時にはみ降雪があったと仮定した。また顕熱と潜熱の算定は山元 et al. (1964)およびPasquill (1949)に従い、aerodynamic法により求めると170W/m<sup>2</sup>となり、一方、融雪および凍結防止を目的とした場合は防雪工学ハンドブックの式により300W/m<sup>2</sup>となった。

### 引用文献

- 1) 気象庁：“日本の気候”
- 2) 日本気象協会青森支部：“青森県気象月報”昭和46年1月
- 3) R.E. Munn：“Descriptive micrometeorology”. Academic Press (1966)
- 4) 原田薫、大橋弥太郎：“北海道におけるRoad Heatingについて.” 雪氷 Vol. 27, NO. 3, May (1965).